

1 2

3 4

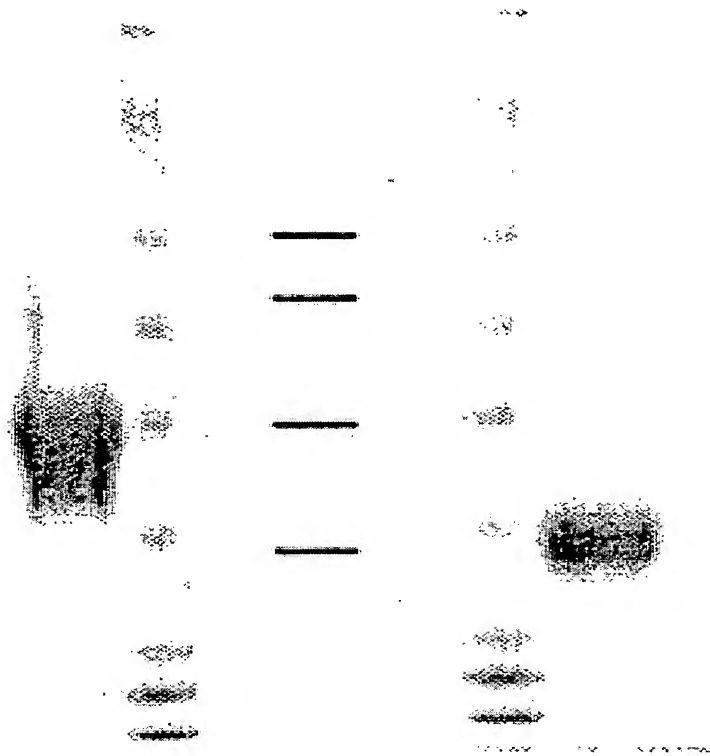


FIG. 1

BEST AVAILABLE COPY

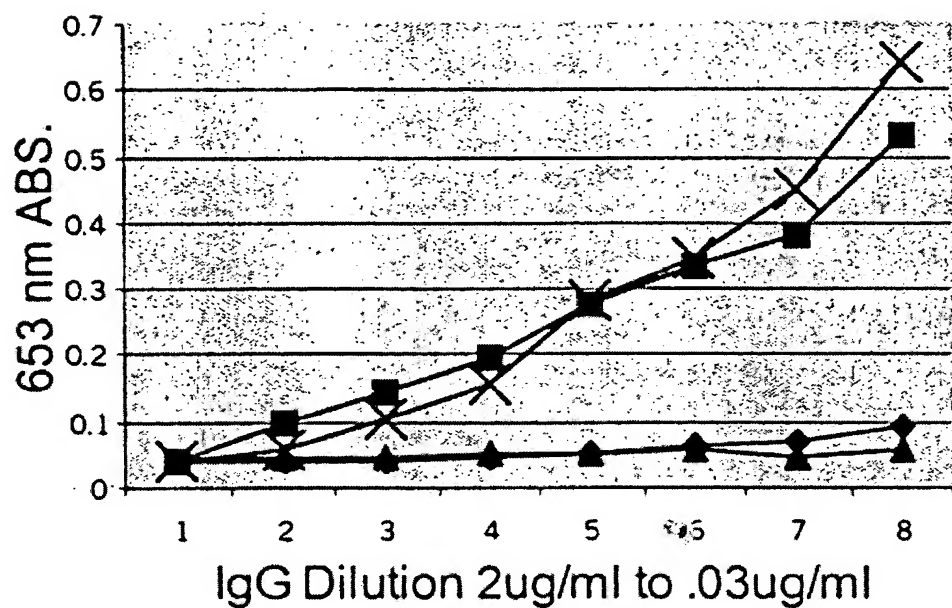


FIG. 2

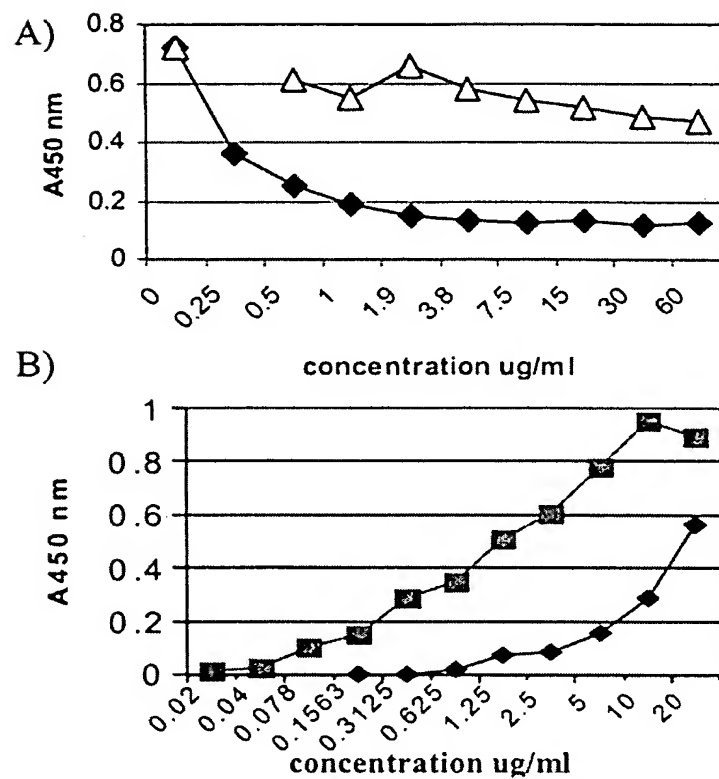


FIG. 3

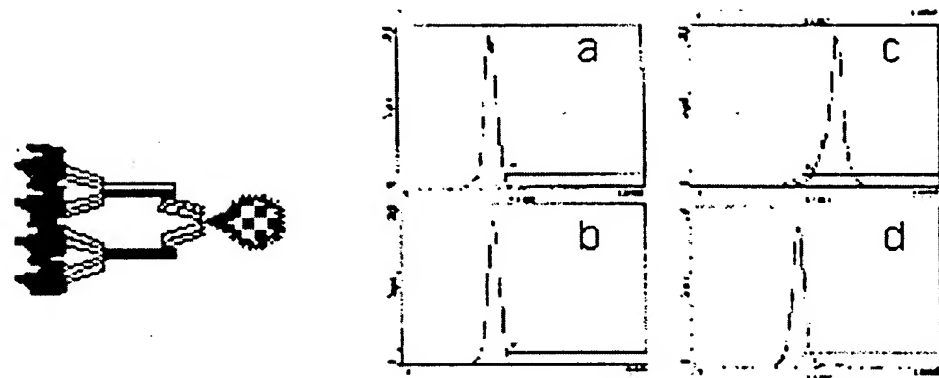


FIG. 4

BEST AVAILABLE COPY

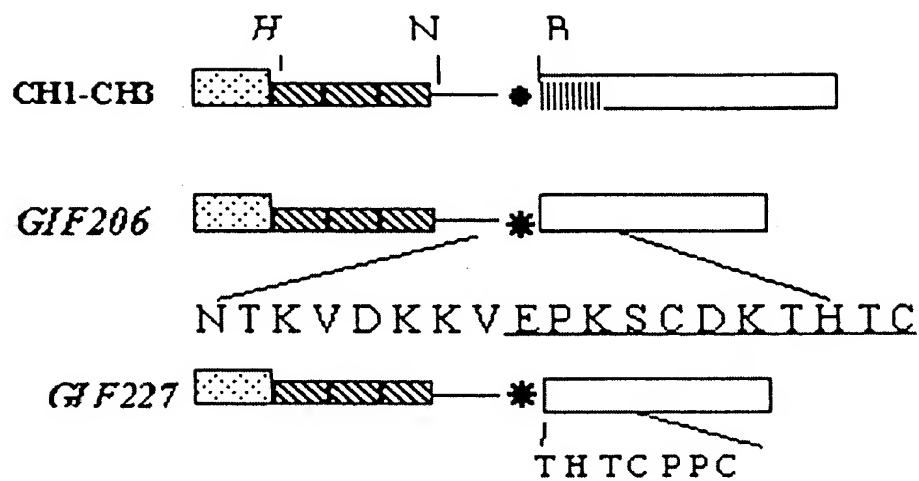


FIG. 5

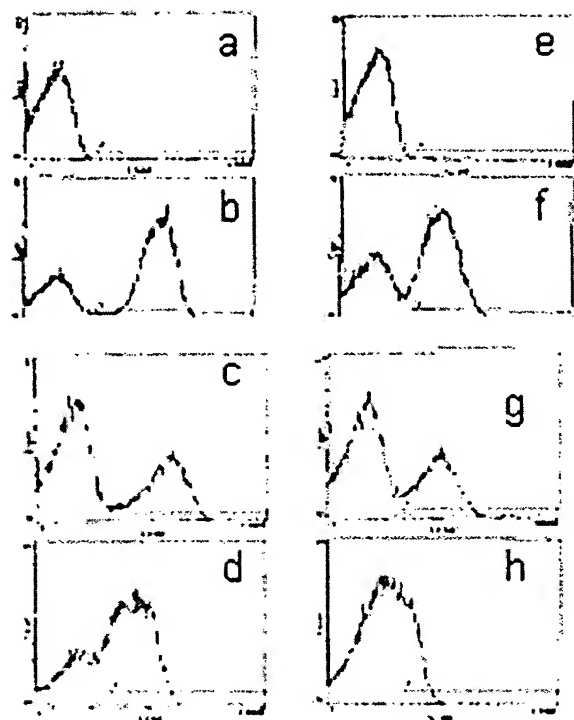


FIG. 6

BEST AVAILABLE COPY

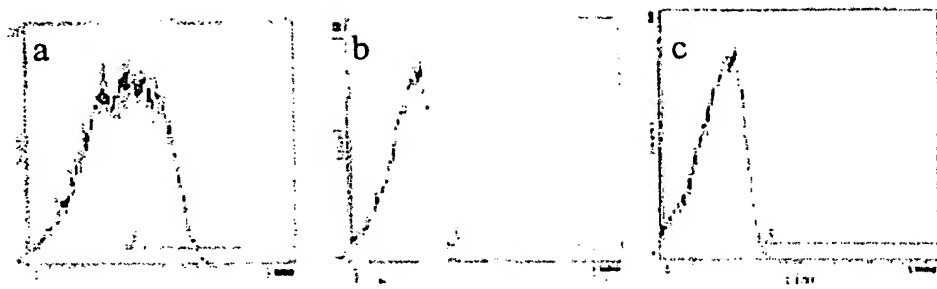


FIG. 7

BEST AVAILABLE COPY

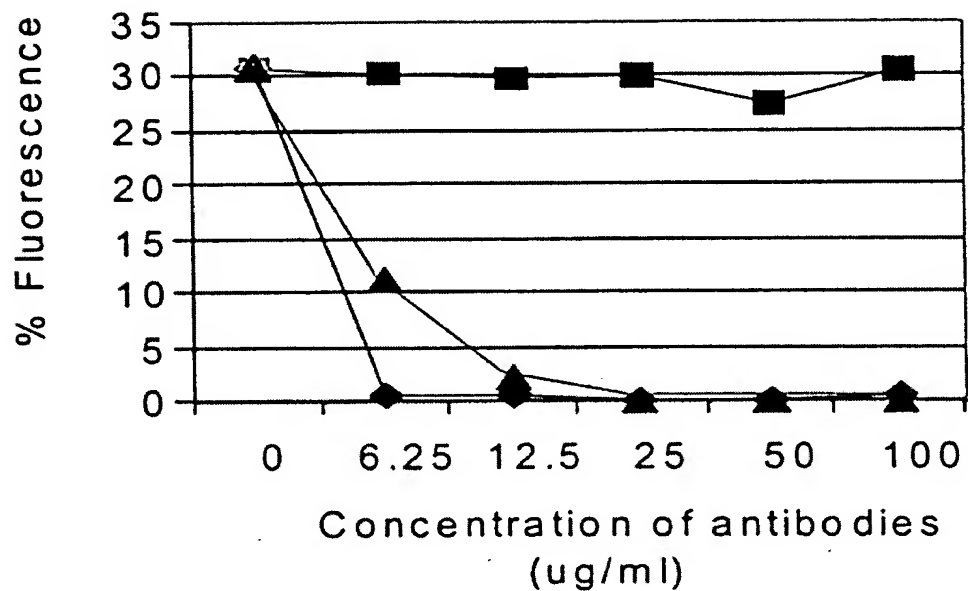


FIG. 8

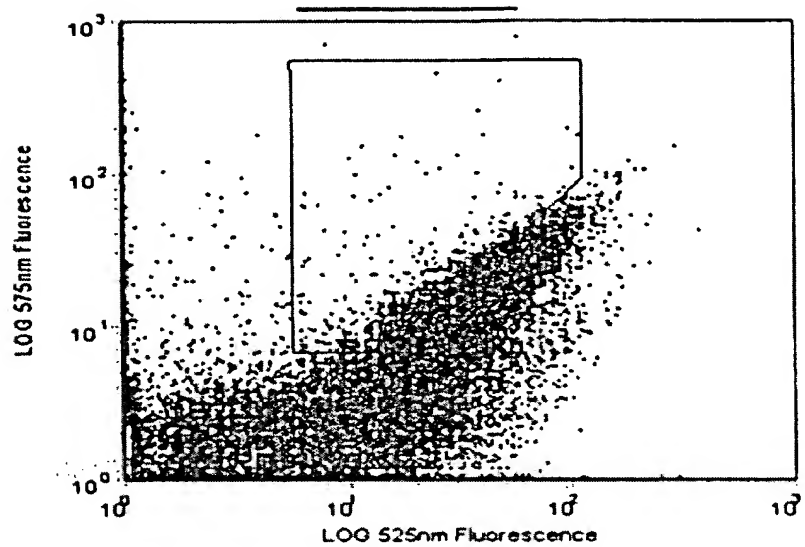


FIG. 9

BEST AVAILABLE COPY

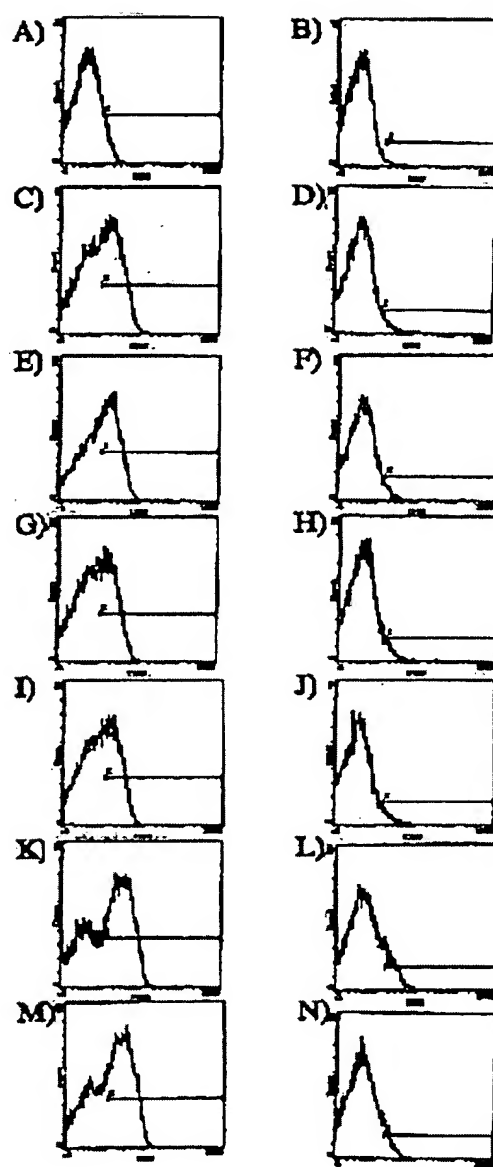


FIG. 10

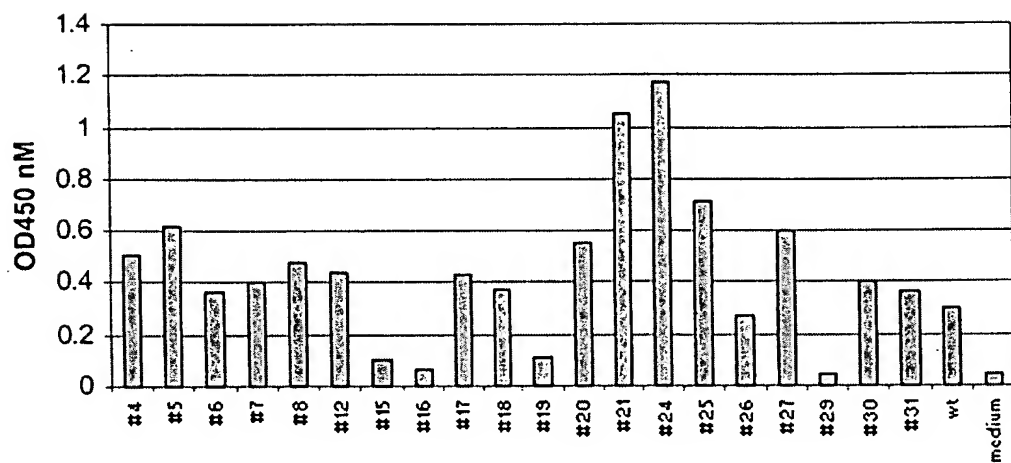


FIG. 11

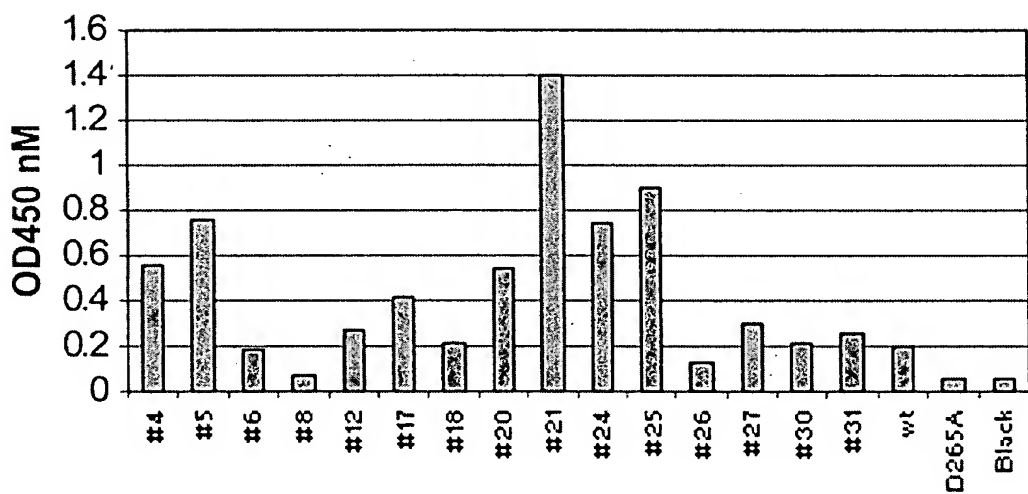
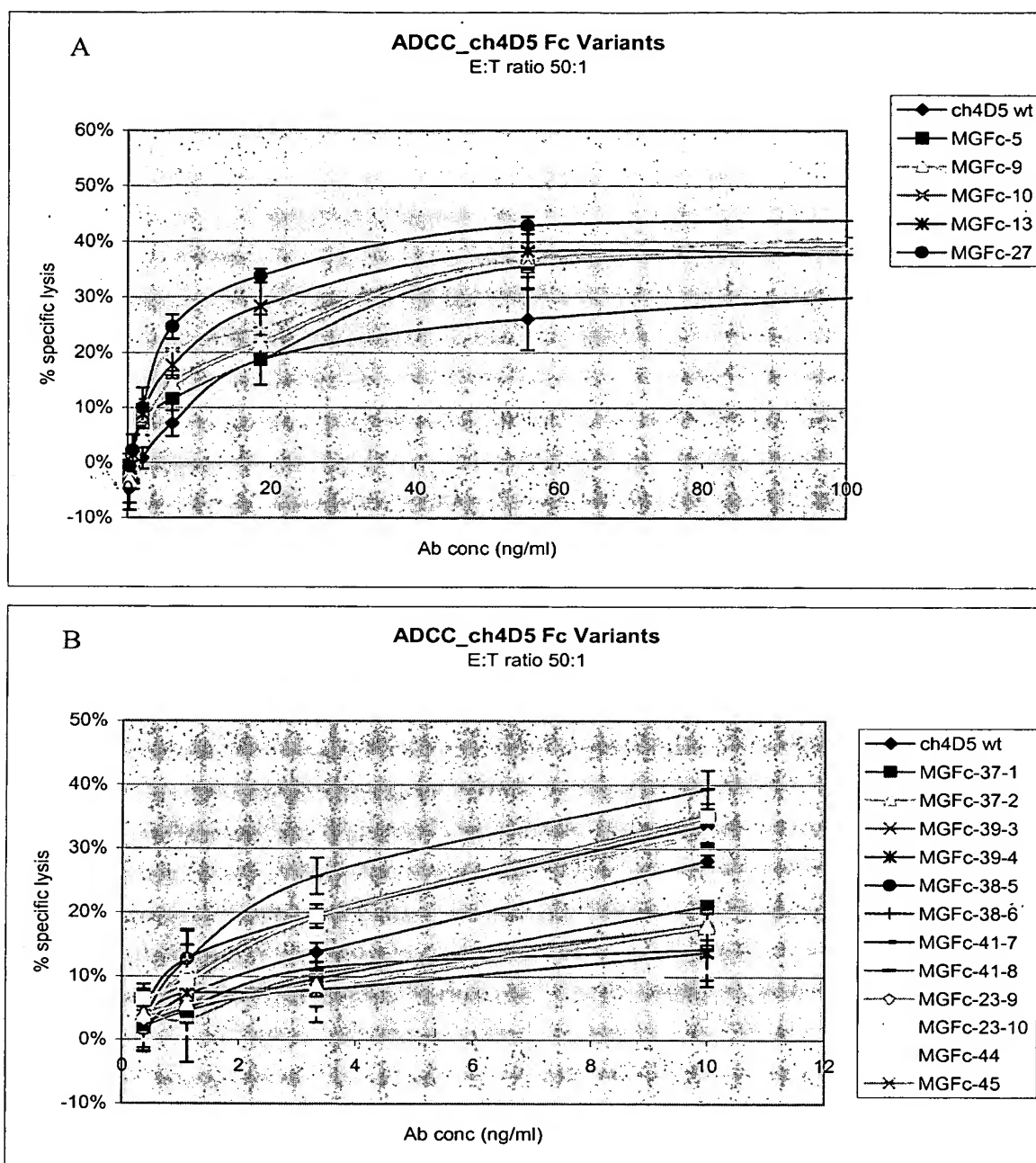
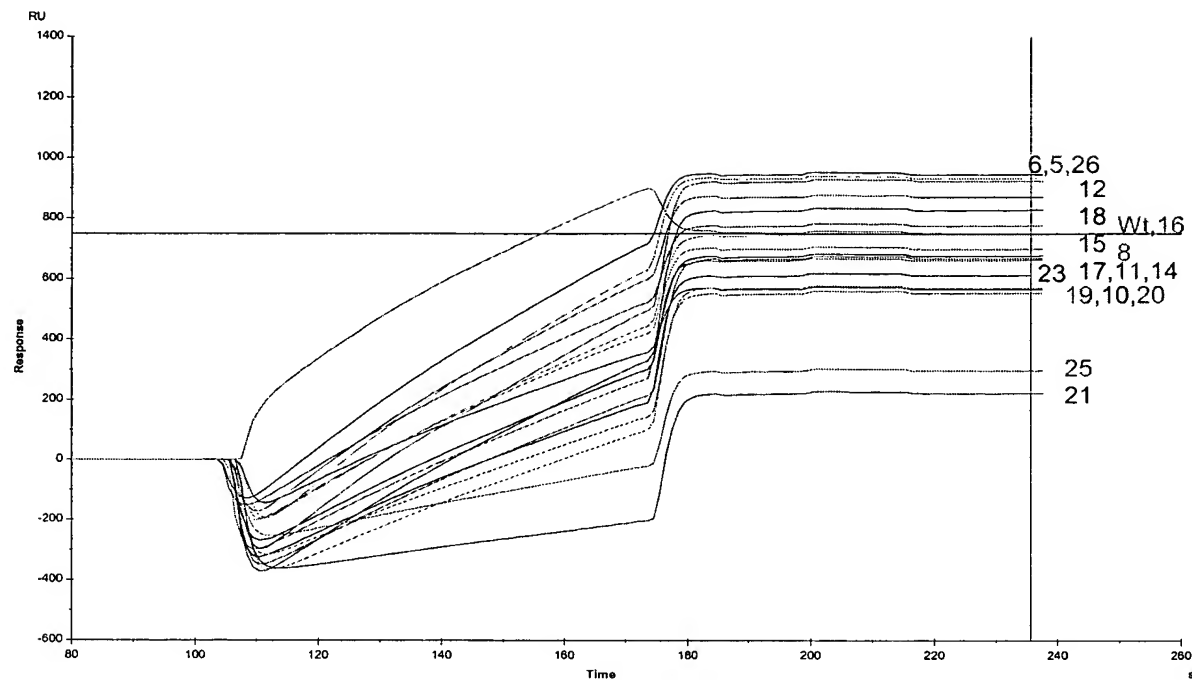


FIG. 12

**FIG. 13**

**FIG. 14**

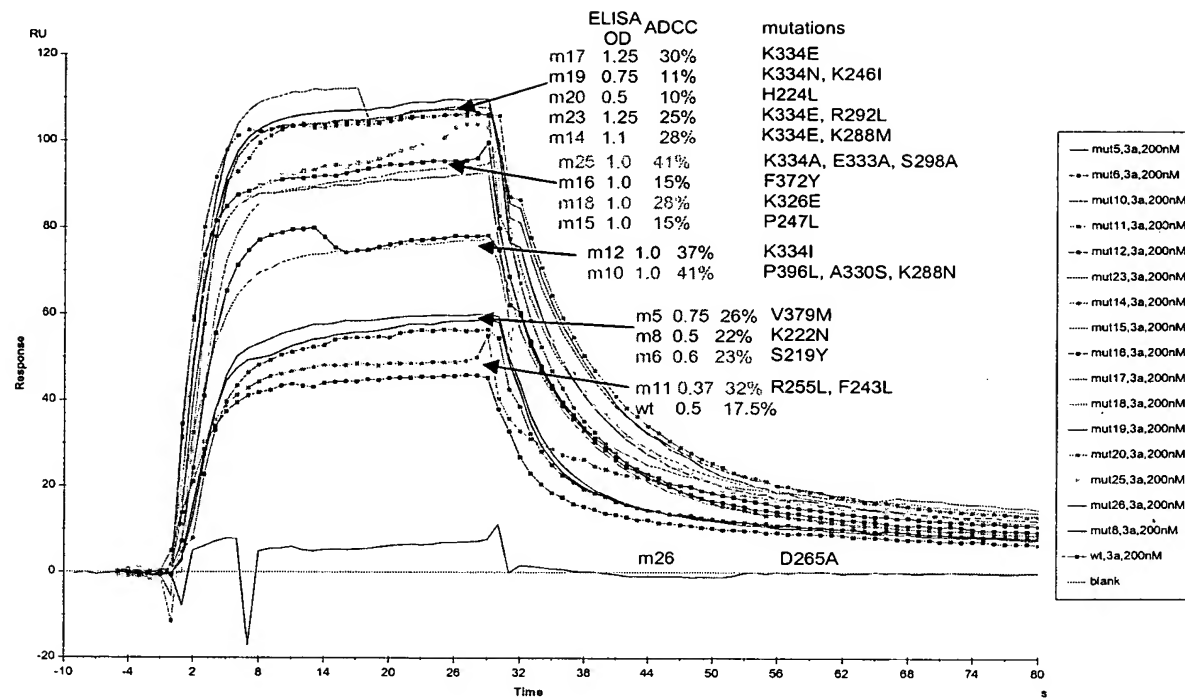


FIG. 15

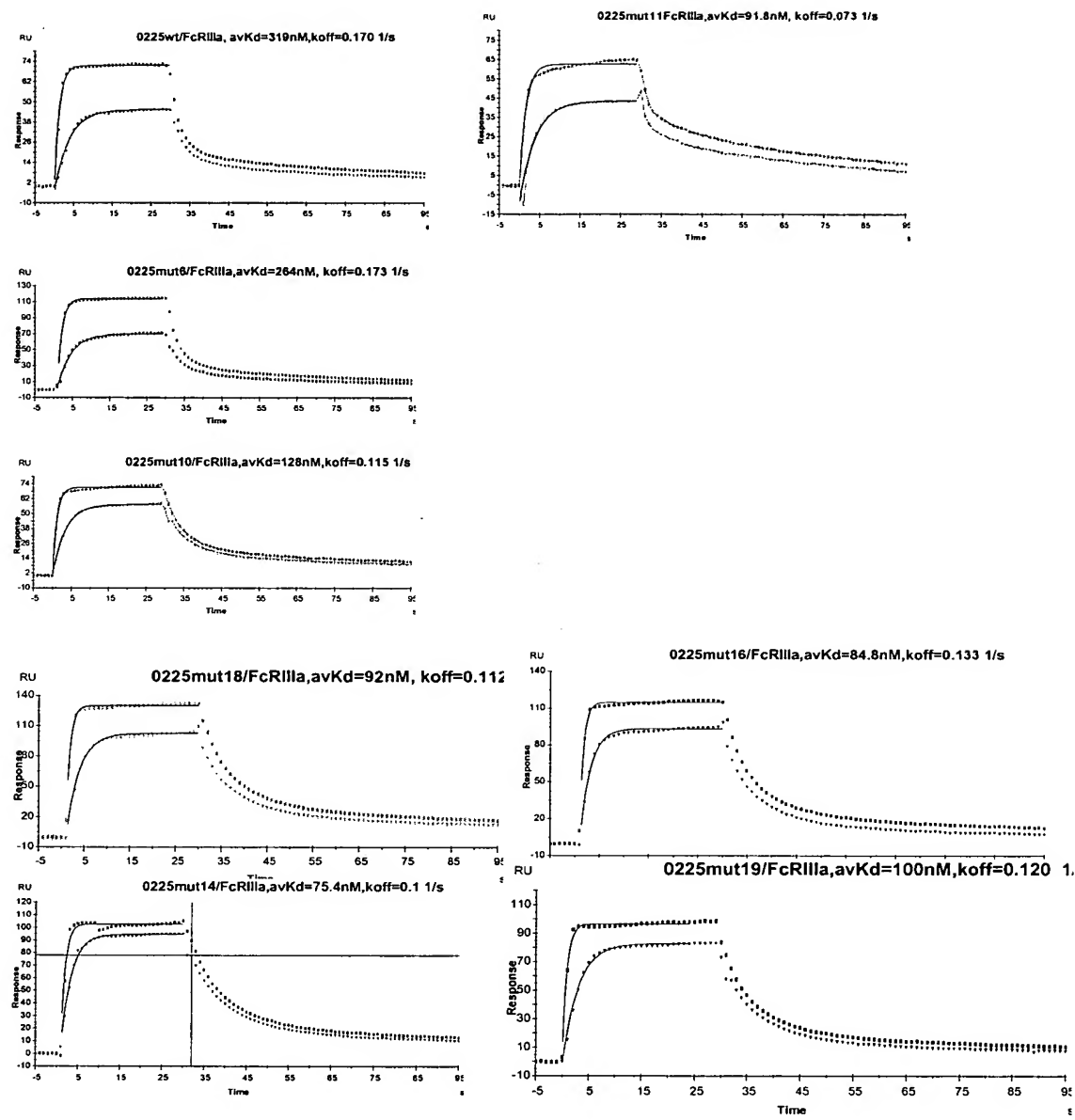


FIG. 16

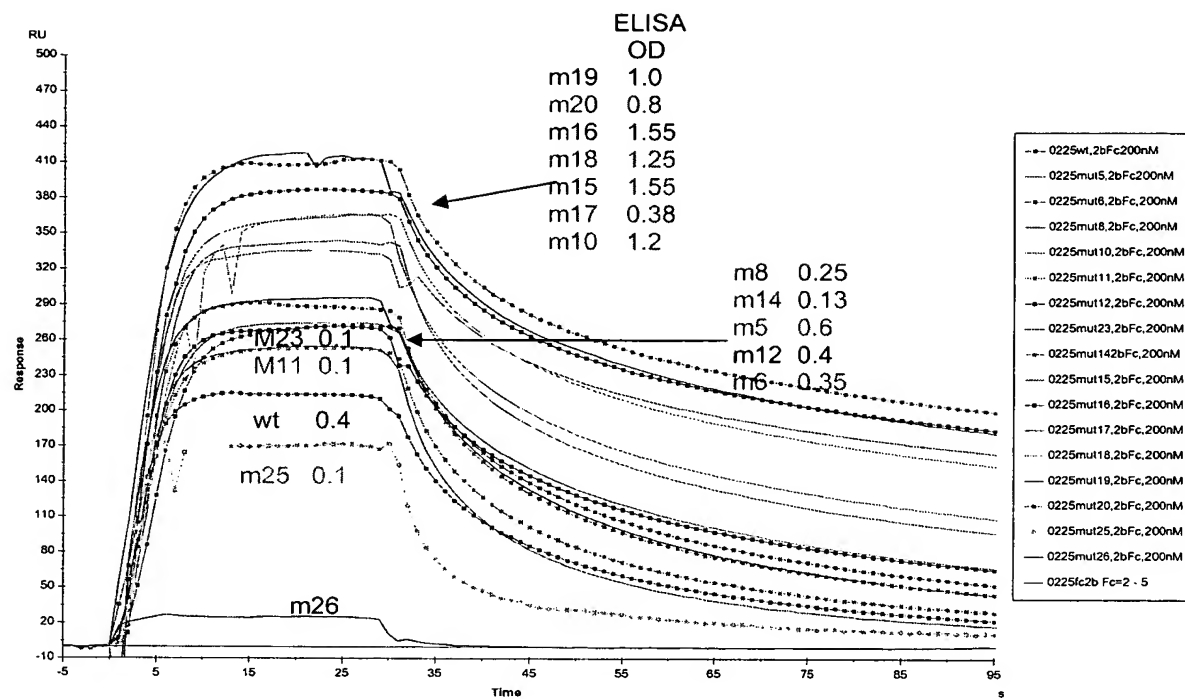


FIG. 17

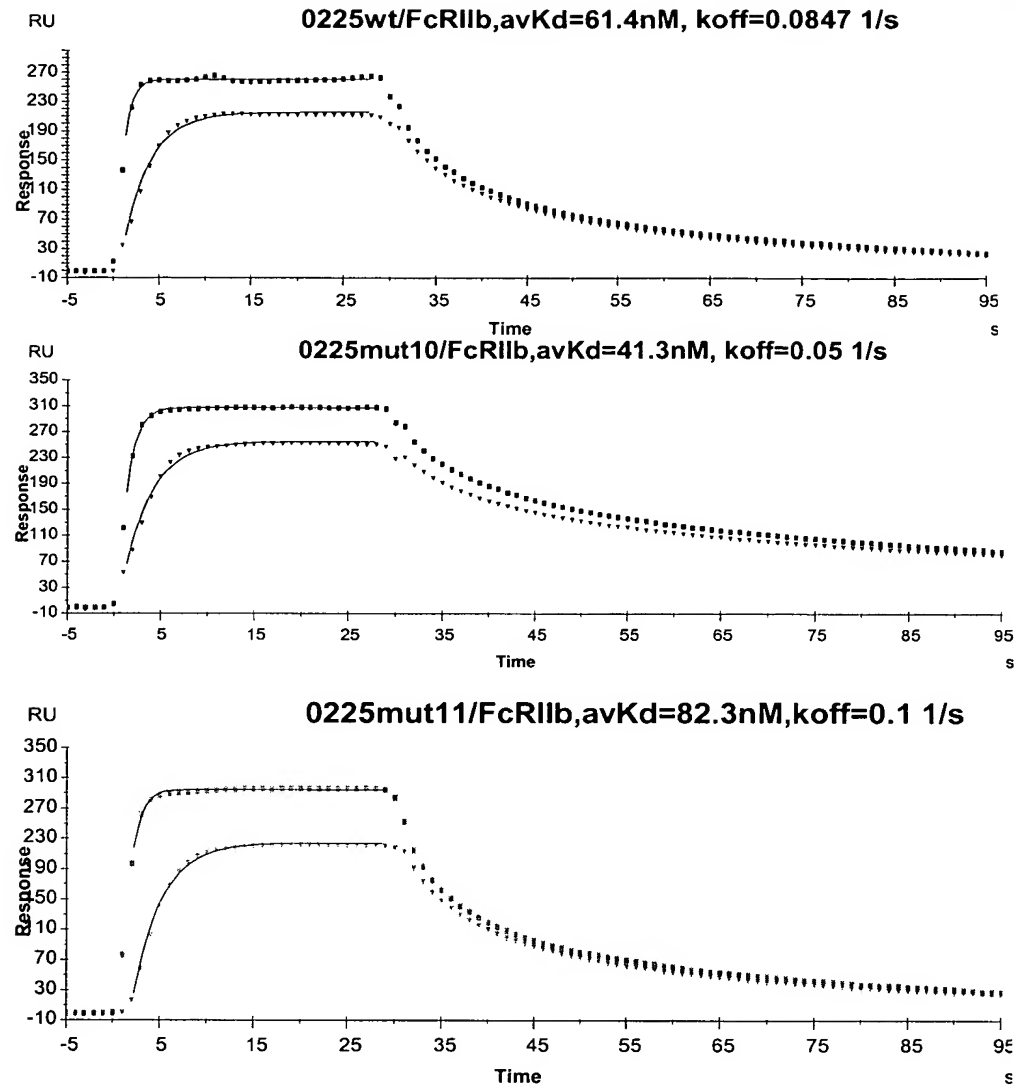
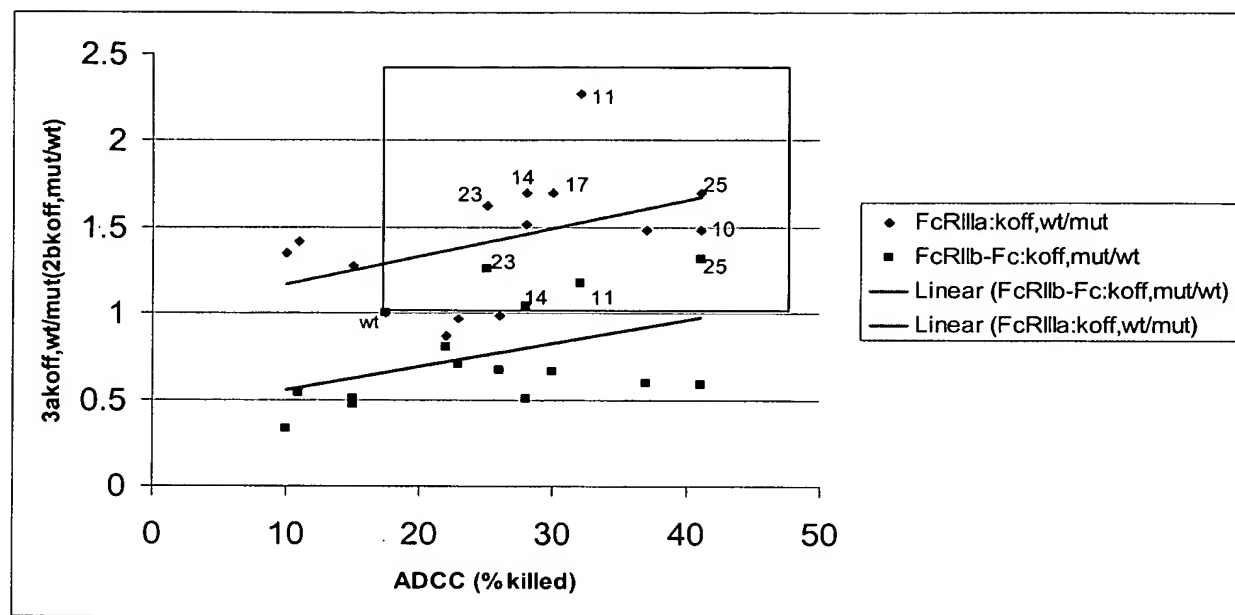
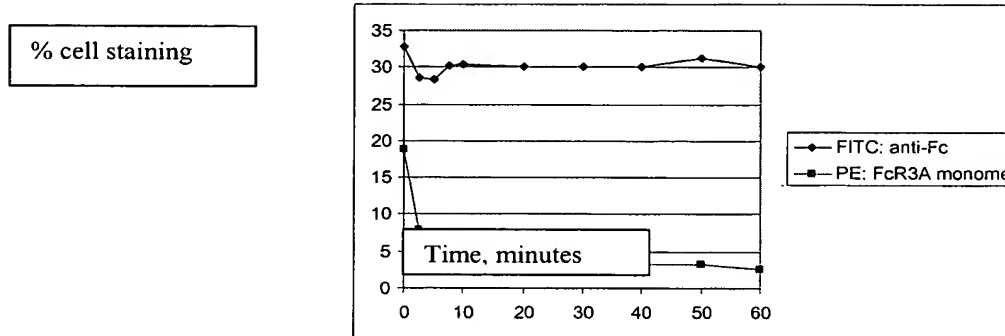


FIG. 18

**FIG. 19**

FACS analysis of FcR3A competition

**FIG. 20**

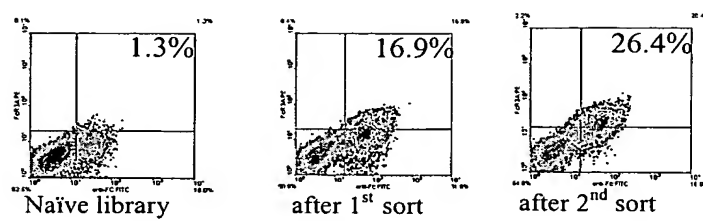


FIG. 21

3aLAVI(V158) P051

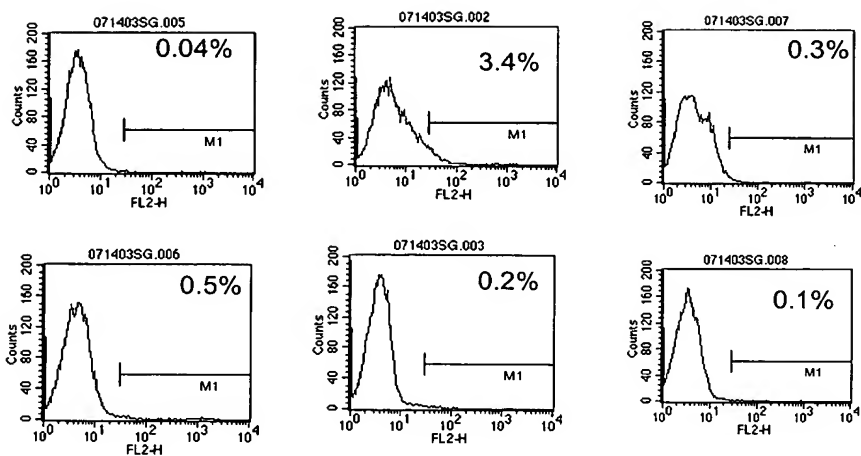


FIG. 22

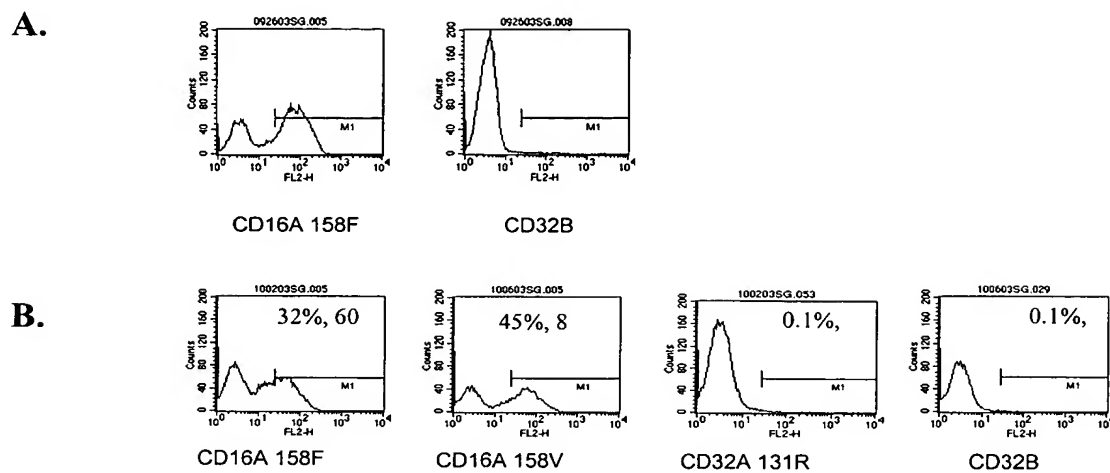


FIG. 23

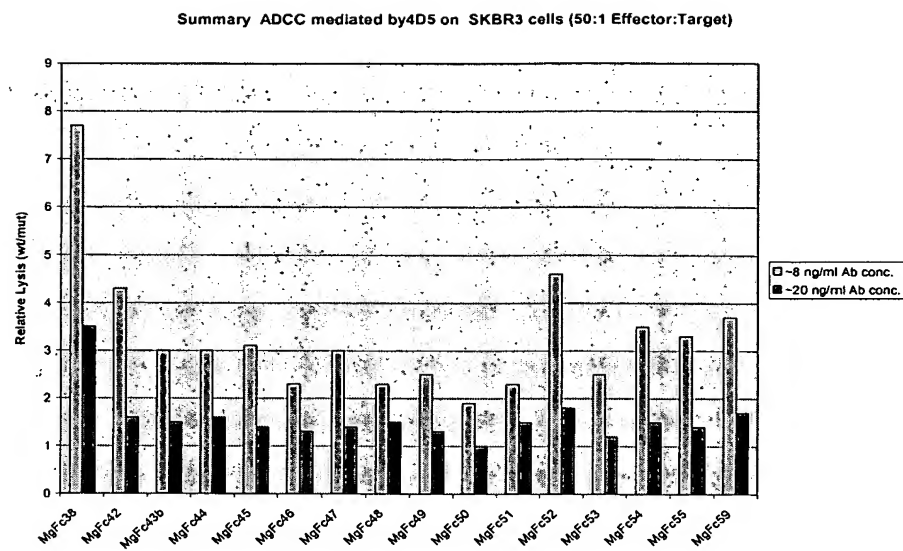


FIG. 24

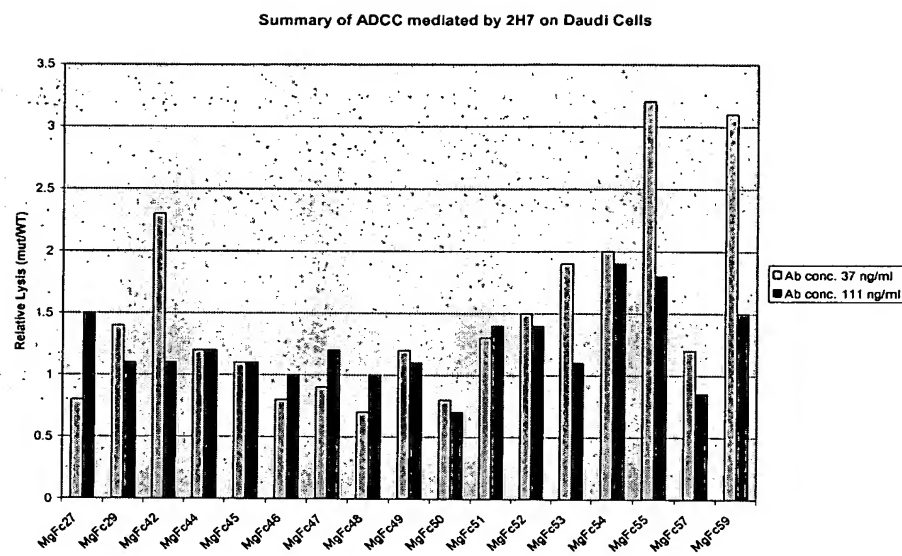


FIG. 25